

การสักลารaireโครงการนองด้วยการนองได้อย่างไร้เหลว

นางสาว สร้างสุดา ลิปิมังคล



# ศูนย์วิทยทรัพยากร จุฬาลงกรณ์มหาวิทยาลัย

วิทยานิพนธ์นี้เป็นส่วนหนึ่งของการศึกษาตามหลักสูตรปริญญาวิชาศาสตรมหาบัณฑิต

สาขาวิชาปิโตรเคมี

บัณฑิตวิทยาลัย จุฬาลงกรณ์มหาวิทยาลัย

พ.ศ. 2531

ISBN 974-569-418-5

ลิขสิทธิ์ของบัณฑิตวิทยาลัย จุฬาลงกรณ์มหาวิทยาลัย

014414

HYDROCARBON EXTRACTION WITH LIQUID CARBONDIOXIDE

Miss Suangsuda Lipimongkol

A Thesis Submitted in Partial Fulfillment of the Requirements

for the Degree of Master of Science

Program of Petrochemistry

Graduate School

Chulalongkorn University

1988

ISBN 974-569-418-5

หัวข้อวิทยานิพนธ์ การสักลสารໄ يؤديโดยการบันด้วยเครื่องบันไดอุกไชต์เหลา  
โดย นส. สรวงสุดา ลิปิมังคล  
สาขาวิชา ปิโตรเคมี  
อาจารย์ที่ปรึกษา อ.ดร. เพียรพรคร ทัศคร

นักศึกษาวิทยาลัย จุฬาลงกรณ์มหาวิทยาลัย อนุมัติให้วิทยานิพนธ์ฉบับนี้เป็นส่วนหนึ่ง  
ของการศึกษาตามหลักสูตรปริญญามหาบัณฑิต

.....  
.....  
(ศาสตราจารย์ ดร. ถาวร วัชราภัย)

คณบดีบัณฑิตวิทยาลัย

กรรมการการสอบวิทยานิพนธ์

.....  
(ผู้ช่วยศาสตราจารย์ ดร. ศุภารัณ ตันထยานนท์)

ประธานกรรมการ

.....  
(อาจารย์ ดร. เพียรพรคร ทัศคร)

อาจารย์ที่ปรึกษา

.....  
(รองศาสตราจารย์ ดร. วรพัฒน์ อรรถยกติ)

กรรมการ

.....  
(รองศาสตราจารย์ ดร. ภักรพณ์ ประศาสน์สารกิจ)

กรรมการ



สรวgsสุดา ลิปิมังคล : การสกัดสารไฮโดรคาร์บอนด้วยคาร์บอนไดออกไซด์เหลว  
(HYDROCARBON EXTRACTION WITH LIQUID CARBON DIOXIDE)  
อ.ที่ปรึกษา : อ. ดร. เพียรพรค ทศศร, 143 หน้า

ในงานวิจัยนี้ ได้ทำการศึกษาการสกัดแยกสารไฮโดรคาร์บอนเนื้อหนักโนเลกูล์ที่ออกจากสารผลไม้ไฮโดรคาร์บอนที่มีน้ำหนักโนเลกูลสูงด้วยคาร์บอนไดออกไซด์เหลว ดำเนินการทดลองโดยใช้ตัวแปรเป็น ช่วงเวลาของกระบวนการผลิตสารในช่วง ๐-๑๒๐ นาที อุณหภูมิ  $10^{\circ}\text{C}$ . ถึง อุณหภูมิห้อง และความดัน ๓๐-๑๐๐ บาร์ ผลการทดลอง พบว่า สภาวะที่เหมาะสม คือ ช่วงเวลาของการแยกสาร ๐ นาที อุณหภูมิห้อง และความดัน ๘๐ บาร์ ปริมาณไฮโดรคาร์บอนไดออกไซด์เหลว ในการสกัดสาร ๕ ครั้ง ปริมาณไฮโดรคาร์บอนไดออกไซด์เหลวลดลงจากร้อยละ ๒๐.๖ เป็น ๘.๗ ในลีบสกัดลดลงจากร้อยละ ๒๐.๖ เป็น ๓.๑

การเบรียบเทียบการละลายของสารเอปเทน และไฮโดรคาร์บอนไดออกไซด์ พบว่า การบูรณาการในสภาพของไนโตรเจน ทำให้อัตราส่วนการละลายของเอปเทนต่อไฮโดรคาร์บอนไดออกไซด์เพิ่มขึ้น ส่วนการบูรณาการไดออกไซด์เหลว สามารถใช้เป็นตัวทำละลายได้ที่อุณหภูมิต่ำ

การศึกษาผลของตัวทำละลายร่วม พบว่า การใช้อีซิทีน หรือ เมทิลเอกิลิคิโน ทำให้อัตราส่วนการละลายของเอปเทนต่อไฮโดรคาร์บอนไดออกไซด์เพิ่มขึ้น

การเบรียบเทียบองค์ประกอบของสารที่ได้จากการสกัด และที่เหลือจากการสกัด พบว่า ไฮโดรคาร์บอนในลีบสกัดมีการกระจายโนเลกูลค่อนไปทางสารอัลเคนโนเลกูลเล็ก ในขณะที่ไฮโดรคาร์บอนในส่วนที่เหลือ มีการกระจายโนเลกูลค่อนไปทางสารอัลเคนโนเลกูลใหญ่ เมื่อเบรียบเทียบผลของความดัน และอุณหภูมิต่อการสกัดสาร พบว่า ในการสกัดสารไฮโดรคาร์บอน ความดันมีผลมากกว่าอุณหภูมิ

ภาควิชา ....ปิโตรเคมี-โพลิเมอร์....  
สาขาวิชา ....ปิโตรเคมี....  
นิการศึกษา ....2531....

ลายมือชื่อนิสิต .....  
ลายมือชื่ออาจารย์ที่ปรึกษา ผู้.....

SUANGSUDA LIPIMONGKOL : HYDROCARBON EXTRACTION WITH LIQUID CARBONDIOXIDE. THESIS ADVISOR : PIENPAK TASAKORN, Dr. 143 pp.

In the study, the extraction of low molecular weight hydrocarbons from a mixture containing hydrocarbons of higher molecular weight, using liquid carbondioxide, was investigated. Experiments were carried out with varying mixing times between 0-120 minutes, temperatures between  $10^{\circ}\text{C}$  to room temperature and pressures between 30-100 bar. It was found that a combination of 60 minutes mixing time, room temperature, and 80 bar pressure was the best condition. The quantity of wax in the first extract was decreased from 20.6 % to 8.7 %. After the fifth extraction, only 3.1 % wax remained.

The solubility ratio of heptane to wax in carbondioxide was increased when supercritical carbondioxide was used. Liquid carbondioxide behaved as a good solvent only at low temperatures.

A study of the influence of cosolvents indicates that the solubility ratio of heptane to wax in carbondioxide increased when acetone or methyl ethyl ketone was used as cosolvent.

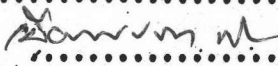
A composition of hydrocarbons in extract and residue shows that the distribution of hydrocarbons in the extract is shifted towards small alkane molecules, whereas the distribution of hydrocarbons in the residue is shifted towards larger molecules. A comparison of the influence of pressure and temperature indicates that pressure affects the extractability to a greater extent than temperature.

ภาควิชา ....ปีโตรเคมี-โพลิเมอร์....

สาขาวิชา ...ปีโตรเคมี....

นิการศึกษา ....2531....

ลายมือชื่อนักวิจัย .....

ลายมือชื่ออาจารย์ที่ปรึกษา 

## กิตติกรรมประกาศ

ผู้วิจัยขอรำขอนพระคุณ อาจารย์ ดร. เพียพรรค ทัศคร อาจารย์ที่ปรึกษา  
 วิทยานิพนธ์ ที่ได้กรุณาให้คำปรึกษา ความช่วยเหลือ และให้คำแนะนำอย่างดีเยี่ยม  
 ก็ใน傍ของวิชาการ เครื่องมือที่ใช้ในการทดลอง ตลอดจนวิธีและขั้นตอนการทดลอง  
 ขอขอบพระคุณ รองศาสตราจารย์ วนันทน์ อรรถยกติ ซึ่งกรุณาให้ข้อมูลเพื่อส่งเสริมงานวิจัยนี้  
 ขอขอบพระคุณ อาจารย์ ดร. สิทธิชัย ลินพัฒน์ไพบูลย์ ภาควิชาเคมี ซึ่งกรุณาให้ใช้เครื่อง  
 gas chromatograph ผู้วิจัยขอรำขอนพระคุณท่านก็สามไว้ ณ. ที่นี่

ขอขอบคุณเจ้าหน้าที่ฝ่ายข้อมูลร้าง ภาควิชาเคมีเทคนิค ที่กรุณาช่วยเหลือเครื่องมือ<sup>1</sup>  
 และอุปกรณ์ที่ใช้ในงานวิจัย ขอขอบคุณหัวหน้าฝ่ายพัสดุ เจ้าหน้าที่ห้องปฏิบัติการ ภาควิชา  
 เคมีเทคนิค และเจ้าหน้าที่ฝ่ายพัสดุ ภาควิชาเคมี ที่กรุณาอำนวยความสะดวกในการยืม<sup>2</sup>  
 อุปกรณ์ต่างๆ ด้วยดี

ผู้วิจัยขอขอบคุณ ทุกอุดหนุนการวิจัยของนักที่วิทยาลัย จุฬาลงกรณ์มหาวิทยาลัย  
 และ กองวิจัย และพัฒนา การบิโตรเลียมแห่งประเทศไทย ที่ได้สนับสนุนด้านเงินทุนเพื่อ<sup>3</sup>  
 การวิจัยนี้ ขอขอบคุณกองควบคุมคุณภาพ การบิโตรเลียมแห่งประเทศไทย ในการสนับสนุน  
 สารเคมีເອກເชน และເວັບເຖິງ สำหรับการวิจัย

ท้ายนี้ ผู้วิจัยขอรำขอนพระคุณ บิดา-มารดา พี่ๆ ซึ่งสนับสนุนด้านการศึกษา  
 มาโดยตลอด และขอขอบคุณ เพื่อนๆ ทุกคนที่ให้กำลังใจ และช่วยเหลืองานวิจัยนี้ด้วยดีตลอดมา

**ศูนย์วิทยทรัพยากร  
จุฬาลงกรณ์มหาวิทยาลัย**

สรวงสุดา ลิปิมมงคล

## สารนัย

หน้า

บทคัดย่อภาษาไทย	ก
บทคัดย่อภาษาอังกฤษ	ข
กิจกรรมประภาก	ค
รายการตารางประกอบ	ช
รายการรูปประกอบ	ฉ
คำอธิบายลักษณะ และคำย่อ	ฉ
บทที่	ภ

1. บทนำ .....	1
1.1 ความสำคัญของการสักลารายการนี้โครงการนันด้วยการบันไดออกไซด์เหลว..	1
1.2 ความเป็นมาในการใช้ค่าร์บอนไดออกไซด์เป็นตัวกำลังภายใน.....	2
1.3 วัตถุประสงค์ และขอบเขตของงานวิจัย .....	3
1.4 ประโยชน์ที่คาดว่าจะได้รับจากการวิจัยครั้งนี้ .....	3
2. ไขปีโตรเลียม .....	4
2.1 ประเภทของไข .....	4
2.2 ไขปีโตรเลียม .....	5
2.3 การผลิต และการทำไขให้บริสุทธิ์ .....	6
2.4 โครงสร้าง และส่วนประกอบของไขปีโตรเลียม .....	9
2.5 คุณสมบัติของไขปีโตรเลียม .....	11
2.6 การใช้ประโยชน์ และแนวทางตลาดของไขปีโตรเลียม .....	18

## สารบัญ (ต่อ)

บทที่

หน้า

3.	การลักดสารด้วยかるบอนไดออกไซด์เหลว .....	22
3.1	การลักดสารด้วยแก๊สภาวะวิกฤต .....	22
3.2	ความสามารถในการใช้かるบอนไดออกไซด์เป็นตัวกำลังลาย .....	25
3.3	การลักดสารที่มีอยู่ในธรรมชาติ .....	27
3.4	กฎภัยการลักดสารด้วยของไหลภาวะวิกฤต .....	29
3.5	กระบวนการลักดสารโดยใช้かるบอนไดออกไซด์ที่ความดันสูง .....	40
3.6	ประโยชน์การใช้かるบอนไดออกไซด์เป็นตัวกำลังลาย .....	45
4.	กฎภัยการละลายของสารประกอบนอร์มัล-อัลเคน .....	47
4.1	สารประกอบนอร์มัล-อัลเคน .....	47
4.2	การละลายของสารนอร์มัล-อัลเคนที่เป็นของแข็งในตัวกำลังลายอินทรีย์ ..	51
4.3	สมการการละลายของสารประกอบนอร์มัล-อัลเคนที่เป็นของแข็งใน ตัวกำลังลายอินทรีย์ .....	53
5.	อุปกรณ์ และวิธีการทดลอง .....	59
5.1	อุปกรณ์ที่ใช้ในการทดลอง .....	59
5.2	สารเคมี และเครื่องมือที่ใช้ในการทดลอง .....	63
5.3	วิธีการทดลอง .....	66
6.	ผลการทดลอง การวิจารณ์ และวิเคราะห์ .....	70
6.1	ผลการศึกษาคุณสมบัติเบื้องต้นของไขพาราfin .....	70
6.2	ผลของอุณหภูมิที่มีต่อการละลายของไขพาราfin ในตัวกำลังลายເອກເຊັນ ເອປເກີນ ໃນເນັ້ນ ແລະ ໄຕເຕເຄີນ ຮັມທຶນກາຮ່າສມກາກາຮ່າລະລາຍ .	72

## สารบัญ (ต่อ)

บทที่

หน้า

6.3 การหาปริมาณไนฟารา핀ในสิ่งสกัด .....	77
6.4 การหาองค์ประกอบของไนฟารา핀 .....	82
6.5 เปรียบเทียบการละลายของเอปเทน และไนฟารา핀ใน $\text{CO}_2$ .....	93
 7. สรุปผล และข้อเสนอแนะ .....	 97
7.1 สรุปผลการทดลอง .....	97
7.2 ข้อเสนอแนะ .....	100
 เอกสารอ้างอิง .....	 101
ภาคผนวก .....	106
 ก. ไนฟารา핀 .....	 107
ข. คุณสมบัติทางเคมีโมโนไดนาไมก์ของ $\text{CO}_2$ .....	114
ค. คุณสมบัติของสารเคมีที่ใช้ .....	122
ง. วิธีการทดสอบ และการคำนวณ .....	127
จ. ตารางแสดงผลการทดลอง .....	137
 ประวัติผู้เขียน .....	 143

## รายการตารางประกอบ

ตารางที่		หน้า
2.1	เบรียบเทียบจุดหลอมเหลวของสารอัลเคน	10
2.2	คุณสมบัติทางเคมีของสารบิโตรเลียม	14
2.3	คุณสมบัติทางกายภาพของไบบิโตรเลียม	17
2.4	การทดสอบคุณสมบัติของไบบิโตรเลียม	20
3.1	การนำไปใช้ประโยชน์ของของไหลภาวะวิกฤต	23
3.2	การละลายของสารประกอบต่างๆ ในคาร์บอนไดออกไซด์เหลว	26
3.3	จุดคริติกัลของสารประกอบต่างๆ	36
3.4	ค่าการละลายของสารใน $\text{CO}_2$ โดยมีตัวทำละลายร่วมต่างๆ กัน	39
3.5	พารามิเตอร์การละลายของสาร และตัวทำละลายร่วม	39
3.6	ค่า configurational pair energy ของสารกับตัวทำละลายร่วม	41
3.7	กระบวนการทางพารามิเตอร์ในการสักดิ้นสารด้วยของไหลภาวะวิกฤต	44
4.1	จุดเดือด จุดหลอมเหลว และความถ่วงจำเพาะของสารประกอบอัลเคน	48
4.2	ค่าคงที่ทางกายภาพของสารอัลเคนในเกลูลิญจ์	50
4.3	ค่าคงที่ไดอิเลกทริก และโมเมนต์ชี้หัวคู่ของสารประกอบต่างๆ	52
4.4	ปริมาตรโมลาร์ของตัวทำละลายที่ $25^\circ\text{C}$	55
6.1	ผลการศึกษาคุณสมบัติเบื้องต้นของไนฟารานิน	71
6.2	สมการเอกซ์โพเนนเชียลของการละลายของไนฟารานิน ที่อุณหภูมิต่างๆ	72
ก.1	ปริมาณการนำเข้าไนฟารานิน	107
ก.2	ปริมาณการนำเข้าไนฟิดอิน	108
ก.3	ปริมาณไนฟารานินในน้ำมันดิบแหล่งต่างๆ ทั่วโลก	109
ก.4	การละลายของไนฟารานินในตัวทำละลายต่างๆ	111
ข.1	ความหนืดของ $\text{CO}_2$ ที่อุณหภูมิ และความดันต่างๆ	118
ข.2	คุณสมบัติของของเหลว-ไอ ของ $\text{CO}_2$ ที่อีเมต้า	119
ข.3	คุณสมบัติของของแข็ง-ไอ ของ $\text{CO}_2$ ที่อีเมต้า	120
ข.4	ค่า compressibility ของ $\text{CO}_2$	121
ง.1	สภาวะของการใช้เครื่อง gas chromatograph ในการหาองค์ประกอบของไนฟารานิน	127

## รายการตารางประกอบ (ต่อ)

ตารางที่

หน้า

๙.1	อุณหภูมิการละลายของ ไนฟาราfin ความเข้มข้นต่างๆ .....	137
๙.2	ผลการวิเคราะห์นำเสนอรูปแบบ ไนฟาราfin ในสิ่งสกัด โดยมีเวลา ความดัน และอุณหภูมิ เป็นตัวแปร .....	138
๙.3	ผลการวิเคราะห์นำเสนอรูปแบบ ไนฟาราfin ในสิ่งสกัด โดยมีจำนวนครึ่งในการสกัดต่างๆ กัน .....	140
๙.4	ผลการวิเคราะห์นำเสนอรูปแบบ ไนฟาราfin ในสิ่งสกัด โดยมีตัวกำลังล่ายร่วมต่างๆ .....	140
๙.5	ผลของความดัน และความหนาแน่น ที่มีต่อการละลายของ ไนฟาราfin และเอปเทน ใน $\text{CO}_2$ .....	141
๙.6	ผลของอุณหภูมิที่มีต่อการละลายของ เอปเทน และ ไนฟาราfin ใน $\text{CO}_2$ .....	141
๙.7	ผลของตัวกำลังล่ายร่วมที่มีต่อการละลายของ ไนฟาราfin และเอปเทน ใน $\text{CO}_2$ .....	142

**ศูนย์วิทยทรัพยากร  
จุฬาลงกรณ์มหาวิทยาลัย**

## รายการรูปประกอบ

**รูปที่**

**หน้า**

2.1	การผลิต และการทำไข่ให้บริสุทธิ์ .....	8
2.1	โคมไฟแอลอฟฟ์ของไฟฟาราฟิน .....	12
2.3	ลักษณะผลึกไข่ทึ่ง แบบ เกล็ด แบบเริ่ม และแบบผสม .....	12
2.4	ลักษณะผลึกไข่ที่ได้จากการตกผลึก .....	13
3.1	องค์ประกอบของสารที่มีอยู่ในธรรมชาติ .....	28
3.2	องค์ประกอบของสารที่ได้จากการกลั่นด้วยไอน้ำ .....	28
3.3	องค์ประกอบของสารที่ได้จากการสกัดด้วยตัวทำละลายผสมของเอทานอล และน้ำ .....	28
3.4	องค์ประกอบของสารที่ได้จากการสกัดด้วยตัวทำละลายที่ไม่มีชื่อของ เมทราลีนคลอไรด์ .....	28
3.5	องค์ประกอบของสารที่ได้จากการสกัดด้วยตัวทำละลายคาร์บอนไดออกไซด์ ...	28
3.6	ความสัมพันธ์ระหว่างการละลายกับความดัน .....	33
3.7	การละลายของกรดเบนโซิกใน $\text{CO}_2$ โดยใช้ $\text{SO}_2$ เป็นตัวทำละลายร่วม ...	33
3.8	การละลายของกรดเบนโซิกใน $\text{CO}_2$ โดยใช้ตัวทำละลายร่วม ร้อยละ 3.5 โนล ที่ $35^{\circ}\text{C}$ . ....	33
3.9	การละลายของ 2-อะมิโนเบนโซิกใน $\text{CO}_2$ โดยใช้ตัวทำละลายร่วม ร้อยละ 3.5 โนล ที่ $35^{\circ}\text{C}$ . ....	33
3.10	ความสัมพันธ์ระหว่างอุณหภูมิ ความดัน และความหนาแน่นของ $\text{CO}_2$ ....	42
3.11	ขั้นตอนการสกัดสารด้วย $\text{CO}_2$ เหลว .....	46
4.1	การละลายของสารอ่อนมัล-อัลเคนที่เป็นของแข็งในตัวทำละลาย อินทรีย์ต่างๆ .....	58
5.1	ส่วนประกอบของเครื่องมือการสกัดสาร .....	60
5.2	เครื่องมือการสกัดสาร .....	60
5.3	ท่อแก๊สคาร์บอนไดออกไซด์ที่ใช้ในการทดลอง .....	61
5.4	ถังผักкар์บอนไดออกไซด์เหลว .....	61
5.5	เครื่องสูบแรงดันสูง .....	62
5.6	เครื่องปฏิกรณ์เคมี .....	62

## รายการรูปประกอบ (ต่อ)

5.7	ใบพัด 4 ชุด ของเครื่องปฏิกรณ์เคมี .....	64
5.8	ห้องทดลองน้ำแข็ง .....	64
5.9	เครื่องหาจุดหลอมเหลวของไขพาราfin .....	65
6.1	เส้นโค้งการเย็บตัวของไขพาราfin .....	70
6.2	เปรียบเทียบการละลายของไขพาราfin ที่ได้จากการทดลอง และสมการ เอกซ์โพเนนเชียล .....	73
6.3	เปรียบเทียบการละลายของไขพาราfin ที่ได้จากการทดลอง และสมการ การละลายในอุณหภูมิ .....	75
6.4	ผลของช่วงเวลาในการกวนผสมต่อบริมาณไขพาราfin ในสิ่งสกัด .....	77
6.5	ผลของอุณหภูมิต่อบริมาณไขพาราfin ในสิ่งสกัด .....	78
6.6	ผลของความดันต่อบริมาณไขพาราfin ในสิ่งสกัด .....	79
6.7	ผลของจำนวนครั้งในการสกัด .....	80
6.8	ผลของตัวทำละลายร่วมต่อบริมาณไขพาราfin ในสิ่งสกัด .....	81
6.9	เปรียบเทียบลักษณะการกระจายไม่เลกูลของไขพาราfin ตึ้งตัน และสิ่งสกัด ที่ความดัน 80 บาร์ และอุณหภูมิต่างๆ .....	83
6.10	เปรียบเทียบลักษณะการกระจายไม่เลกูลของไขพาราfin ตึ้งตัน และส่วนที่เหลือจากการสกัด ที่ความดัน 80 บาร์ และอุณหภูมิต่างๆ .....	86
6.11	เปรียบเทียบลักษณะการกระจายไม่เลกูลของไขพาราfin ตึ้งตัน และสิ่งสกัด ที่อุณหภูมิห้อง และความดันต่างๆ .....	88
6.12	เปรียบเทียบลักษณะการกระจายไม่เลกูลของไขพาราfin ตึ้งตัน และส่วนที่เหลือจากการสกัด ที่อุณหภูมิห้อง และความดันต่างๆ .....	89
6.13	เปรียบเทียบลักษณะการกระจายไม่เลกูลของไขพาราfin ตึ้งตัน และสิ่งสกัด โดยมีตัวทำละลายร่วมต่างๆ .....	91
6.14	เปรียบเทียบลักษณะการกระจายไม่เลกูลของไขพาราfin ตึ้งตัน และส่วนที่เหลือจากการสกัด โดยมีตัวทำละลายร่วมต่างๆ .....	92
6.15	เปรียบเทียบการละลายของไขพาราfin กับเยปเทน ใน $\text{CO}_2$ ที่อุณหภูมิห้อง และความดันต่างๆ .....	93
6.16	เปรียบเทียบการละลายของไขพาราfin กับเยปเทน ใน $\text{CO}_2$ ที่อุณหภูมิห้อง และความหนาแน่นต่างๆ .....	94

## รายการรูปประกอบ (ต่อ)

รูปที่	หน้า
6.16 เปรียบเทียบการละลายของไนฟาราฟินกับเอปเทน ใน $\text{CO}_2$ ที่อุณหภูมิห้อง และความหนาแน่นต่างๆ .....	94
6.17 เปรียบเทียบการละลายของไนฟาราฟินกับเอปเทน ใน $\text{CO}_2$ ที่ความดัน 80 บาร์ และอุณหภูมิต่างๆ .....	95
6.18 เปรียบเทียบการละลายของไนฟาราฟินกับเอปเทน โดยมีตัวทำละลายร่วมต่างๆ .....	96
๗.1 แผนผังวัสดุภาคของ $\text{CO}_2$ .....	114
๗.2 ผลของความดันที่มีต่อความหนาแน่นของ $\text{CO}_2$ ที่บริเวณภาวะวิกฤต .....	114
๗.3 แผนผัง compressibility ของ $\text{CO}_2$ ที่ความหนาแน่นต่ำ .....	115
๗.4 แผนผัง compressibility ของ $\text{CO}_2$ ที่ความหนาแน่นปานกลาง .....	116
๗.5 แผนผัง compressibility ของ $\text{CO}_2$ ที่ความหนาแน่นสูง .....	117
๘.1 เครื่อง gas chromatograph .....	128
๘.2 กรณีมาตรฐานระหว่างความสูงของผิว กับความเข้มข้นของอร์มัล-พาราฟิน ..	131
๘.3 ความล้มเหลวระหว่างความชันกับจำนวนค่าร์บอนอะทอมของ สารอร์มัล-พาราฟิน .....	132
๘.4 โคมไฟแก๊สของไนฟาราฟินก่อน หลัง และที่เหลือจากการสักดิ้น .....	136

**ศูนย์วิทยทรัพยากร  
จุฬาลงกรณ์มหาวิทยาลัย**

## คำอธิบายสัญลักษณ์ และคำย่อ

$\xi$	=	ขนาดกลุ่ม (cluster sizes), dimensionless
N	=	จำนวนโมเลกุล, dimensionless
d°	=	ความหนาแน่นของตัวทำละลายในสารละลายที่เจือจาง, L⁻³
k	=	ค่าคงที่โบทซ์แมน
K <sub>T</sub>	=	ค่า isothermal compressibility, Lt²M⁻¹
Y	=	ความสามารถในการลดลายของแข็งในของไหภavaที่วิกฤต
E	=	enhancement factor
P	=	ความดัน
B	=	cross-virial coefficient
V	=	ปริมาตร, cm³mol⁻¹
$\mu$	=	ศักย์ทางเคมี
X	=	สัดส่วนโมล
$\Delta U$	=	configurational pair energy, kJ/g-mol
D	=	dispersion
O	=	orientation
I	=	induction
A	=	acid
B	=	base
C	=	cohesive energy density
$\delta$	=	solubility parameter, (cal/cm³) <sup>1/2</sup>
$w_B$	=	สัดส่วนน้ำหนัก
$\phi$	=	สัดส่วนปริมาตร
M	=	น้ำหนักโมเลกุล
H <sub>m</sub>	=	ความร้อนของการหลอมเหลว, J/mole
H <sub>t</sub>	=	ความร้อนของแทرنชิรั้น, J/mole
R	=	ค่าคงที่ของแก๊ส
T <sub>m</sub>	=	อุณหภูมิหลอมเหลว, °K
T <sub>t</sub>	=	อุณหภูมิแทرنชิรั้น, °K
Z	=	compressibility factor